

МЕХАНИКА

Н. Н. БАУТИН

ТЕОРИЯ СПУСКОВОГО РЕГУЛЯТОРА С ПРУЖИНЯЩЕЙ ПЛАСТИНКОЙ

(Представлено академиком А. А. Андроновым 3 III 1950)

1. В приборах, измеряющих малые промежутки времени (хронографы, электроотметчики), а также в некоторых других случаях в качестве регулятора применяют упругую пружинящую пластинку, взаимодействующую с ходовым колесом (рис. 1)\*.

В настоящей заметке дается теория такого регулятора на модели, учитывающей две степени свободы \*\*, и находятся величины, характеризующие периодическое движение (координаты и скорости последовательных состояний) и его устойчивость, а также зависимость периода от параметров регулятора. Полученные формулы могут служить для расчета регуляторов с пружинящей пластинкой, а также позволяют исследовать динамику регулятора. В частности, в заметке показано, что для рассматриваемой модели при фиксированных значениях параметров возможны различные устойчивые периодические режимы\*\*\*.

2. Описание динамической модели. Пусть ходовое колесо осуществлено в виде бесконечной ленты, оснащенной зубцами, расположенными на равных расстояниях  $a$ , и приводимой в движение постоянным моментом, а пружинящая пластинка представлена балансиром,двигающимся поступательно по направляющим под углом  $\varphi$  к направлению движения ленты ходового колеса и связанным с положением равновесия пружиной (рис. 2). Будем считать, что в промежутках между ударами ходовое колесо имеет один выдвинутый

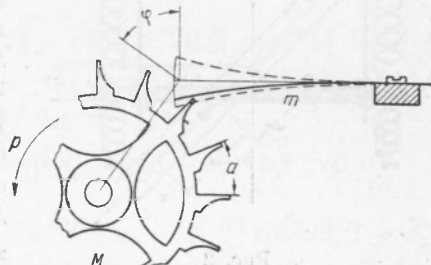


Рис. 1

\* Рисунок изображает положение ходового колеса и пружинящей пластинки в процессе работы регулятора (в момент соударения ходового колеса с пластинкой).

\*\* Теория регулятора с пружинящей пластинкой, предложенная Дроздовым (1), неудовлетворительна, так как исходит из неправильных предпосылок о характере взаимодействия ходового колеса и пластинки.

\*\*\* От ранее рассмотренной задачи о часах Галилея — Гюйгенса (2) рассматривающая здесь модель в динамическом отношении отличается такими особенностями: 1) передача импульса происходит только один раз за период, 2) наличие собственного периода является здесь обязательным, 3) передача импульса происходит при соударениях под определенным углом.

зубец и этот зубец после удара мгновенно убирается (при помощи механизма, который нет надобности рассматривать), а вместо него появляется зубец, следующий за ним по порядку. Движение зубцов ходового колеса и движение балансира будем считать прямолинейным и введем координаты  $x$  и  $y$ , расположив ось  $x$  по направлению движения балансира, а ось  $y$  — по направлению движения зубцов ходового колеса (направления осей  $x$  и  $y$  образуют угол  $\varphi$ ). Общее начало отсчета пусть совпадает с положением равновесия балансира.

Уравнения движения для промежутков времени между ударами будут:

$$M \frac{d\dot{x}}{dt} = P, \quad \frac{dy}{dt} = \dot{y}, \quad m \frac{dx}{dt} = -\kappa_0 x - b\dot{x}, \quad \frac{dx}{dt} = \dot{x}^*. \quad (1)$$

Будем удары считать мгновенными; тогда доударные скорости  $\dot{x}$ ,  $\dot{y}$  будут связаны с послеударными скоростями  $\dot{x}$ ,  $\dot{y}$  соотношениями:

$$\dot{x} = \alpha \dot{x} + \sigma(1 - \alpha) \dot{y}, \quad \dot{y} = \beta \dot{x} + (1 - \sigma\beta) \dot{y}, \quad (2)$$

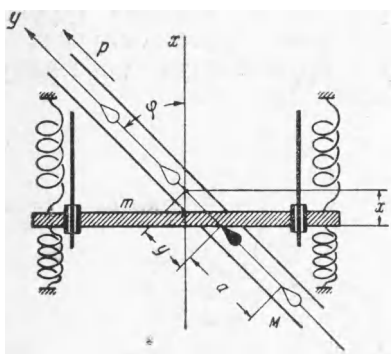


Рис. 2

где  $\sigma = \cos \varphi$ ,  $\beta = m\sigma(1 + k)/M + m\sigma^2$ ,  $\alpha = \sigma\beta - k$  и  $k$  — коэффициент восстановления \*\*.

3. Точечное преобразование. Уравнения (1) и (2) позволяют написать точечное преобразование  $\Omega$  для переходов между последовательными послеударными состояниями  $\{x_0, y_0 (\equiv x_0/\sigma), \dot{x}_0, \dot{y}_0\}$  и  $\{x_1, y_1 (\equiv x_1/\sigma), \dot{x}_1, \dot{y}_1\}$ , порождаемыми последовательными ударами зубцов ходового колеса о балансир. Положим:

$$x_0/m = \kappa, \quad b/2m = h, \quad \sqrt{\kappa^2 - h^2} = \omega,$$

$$x/a = \xi, \quad \dot{x}/a\omega = \dot{\xi}, \quad \dot{y}/a\omega = \eta, \quad h/\omega = H,$$

$P/2aM\omega^2 = p$ ,  $\omega t = \tau$ . Точечное преобразование  $\Omega$  примет тогда вид

$$\begin{aligned} \dot{\xi}_1 &= \alpha e^{-H\tau} [\dot{\xi}_0 (\cos \tau - H \sin \tau) - \dot{\xi}_0 (1 + H^2) \sin \tau] + \sigma(1 - \alpha)(2p\tau + \dot{\eta}_0), \\ \dot{\eta}_1 &= \beta e^{-H\tau} [\dot{\xi}_0 (\cos \tau - H \sin \tau) - \dot{\xi}_0 (1 + H^2) \sin \tau] + (1 - \sigma\beta)(2p\tau + \dot{\eta}_0), \quad (3) \\ \xi_1 &= e^{-H\tau} [\dot{\xi}_0 \sin \tau + \dot{\xi}_0 (\cos \tau + H \sin \tau)], \end{aligned}$$

где  $\tau$  — наименьший положительный корень уравнения

$$e^{-H\tau} [\dot{\xi}_0 \sin \tau + \dot{\xi}_0 (\cos \tau + H \sin \tau)] - (p\tau^2 - 1)\sigma - \dot{\eta}_0\tau - \dot{\xi}_0 = 0.$$

Преобразование (3) содержит пять существенных параметров:  $\alpha$ ,  $\beta$ ,  $p$ ,  $H$ ,  $\sigma$ .

\* Фазовая переменная  $\dot{x}$  динамической модели есть линейная скорость „конца“ пружинящей пластиинки (пренебрегая изменениями скорости пластиинки в точке удара, происходящими от смещения точки удара по длине пластиинки из-за несовпадения траекторий конца зуба ходового колеса и конца пластиинки);  $\dot{y}$  — линейная скорость конца зуба ходового колеса;  $M$  — приведенная к координате  $y$  масса ходового колеса;  $P$  — обобщенная сила, приводящая ходовое колесо во вращение;  $m$  — приведенная к координате  $x$  масса упругой пластиинки (балансира);  $b$  — коэффициент вязкого трения;  $\kappa_0$  — коэффициент упругости пластиинки.

\*\* Угол между направлениями скоростей зуба и пластиинки в точке удара в процессе работы регулятора не остается неизменным. В динамической модели этот угол принимается постоянным, равным установочному углу  $\varphi$  (рис. 1).

4. Периодическое решение. Для неподвижной точки точечного преобразования (3), определяемой условием  $\dot{\xi}_1 = \dot{\xi}_0$ ,  $\eta_1 = \eta_0$ ,  $\dot{\xi}_1 = \dot{\xi}_0$  и соответствующей периодическому решению системы (1), (2), имеем \*:

$$\ddot{\xi}_0 = \frac{\sigma}{\theta} + \frac{\sigma\beta - 2\alpha}{\beta} p\theta, \quad \dot{\eta}_0 = \frac{1}{\theta} - p\theta, \quad \dot{\xi}_0 = \frac{p(1-\alpha)}{\beta} \frac{\theta \sin \theta}{\operatorname{ch} H\theta - \cos \theta}, \quad (4)$$

где  $\theta$  — положительный корень уравнения

$$p\theta^2 \left[ 2\alpha - \sigma\beta + (1-\alpha) \frac{e^{H\theta} - H \sin \theta - \cos \theta}{\operatorname{ch} H\theta - \cos \theta} \right] = \sigma\beta. \quad (5)$$

Точечное преобразование (3) будет иметь столько неподвижных точек, сколько положительных корней имеет уравнение (5).

Неподвижная точка и соответствующее периодическое решение будут устойчивы (т. е. все три корня соответствующего уравнения в конечных разностях будут по модулю меньше единицы), если выполняются условия:

$$A \equiv \sigma\beta(2\alpha - \sigma\beta) \frac{1}{g} + \sigma\beta(1-\alpha)[2(1+\bar{a}_1) + g\theta\Phi_1] > 0,$$

$$B \equiv [\alpha^2 + (\alpha - \sigma\beta)^2](a_1 + b_1) + 2[1 + (1 - \sigma\beta)^2] - 2g(1-\alpha)^2(1+\bar{a}_1) + [2(1-\alpha)^2 - (1 - \sigma\beta)^2 - 1](1+\bar{a}_1) + \sigma\beta(1-\alpha)[2\bar{a}_0 + g\theta\Phi_2] > 0, \quad (6)$$

$$C \equiv 4[1 + (\alpha - \sigma\beta)^2 b_1] - B > 0,$$

$$D \equiv 2 - \frac{A+B}{2} + \frac{B-A}{2}(\alpha - \sigma\beta)^2 b_1 - 2(\alpha - \sigma\beta)^4 b_1^2 > 0,$$

где  $1/g = e^{-2H\theta} - 2e^{-H\theta} \cos \theta + 1$ ,  $b_1 = e^{-2H\theta}$ ,  $\bar{a}_0 = e^{-H\theta} \sin \theta / \theta$ ,  $1+\bar{a}_1 = 1 - e^{-H\theta}(\cos \theta + H \sin \theta)$ ,  $a_1 + b_1 = e^{-2H\theta} + e^{-H\theta}(\cos \theta - H \sin \theta)$ ,  $\Phi_1 = e^{-H\theta}[4He^{-H\theta} - (1-H^2)(1-e^{-2H\theta}) \sin \theta - 2H(1+e^{-2H\theta}) \cos \theta]$ ,  $\Phi_2 = e^{-H\theta}[(1-H^2)(1+e^{-2H\theta}) \sin \theta + 2H(1-e^{-2H\theta}) \cos \theta]$ .

5. Уравнение (5) связывает период  $\theta$  (безразмерное время между двумя последовательными ударами зуба ходового колеса о пластинку) с безразмерными параметрами  $H$ ,  $p$ ,  $J$ ,  $\sigma$ ,  $k$  \*\*, характеризующими соответственно: трение в системе, врачающий момент, отношение моментов инерции, установочный угол и коэффициент восстановления при ударе. Уравнения (4) и (5) совместно с условиями устойчивости (6) позволяют исследовать возможные режимы работы регулятора и зависимость этих режимов от параметров.

Выводы. 1°. При отсутствии трения в системе (при  $H=0$ ) и фиксированных значениях остальных параметров существует единственная неподвижная точка преобразования (3), которая может быть устойчивой или неустойчивой.

2°. При  $H=0$  взаимодействие ходового колеса и пластинки в устойчивом режиме происходит на встречных ударах.

\* В работе не затрагивается вопрос о возможности других рекуррентных режимов (например режимов, соответствующих так называемым периодическим точкам преобразования).

\*\* Параметры  $k$  и  $J = m/M$  входят в уравнение через  $\alpha$  и  $\beta$ .

3°. При  $H = 0$  внутри каждого интервала значений параметра  $\theta$ , соответствующего неустойчивым режимам, содержится либо период собственных колебаний пластиинки ( $\theta = 2\pi$ ), либо его целые кратности ( $\theta = 2n\pi$ ,  $n = 2, 3, \dots$ ).

Наличие трения ( $H > 0$ ) существенно влияет на поведение системы.

4°. При фиксированном  $H > 0$  и фиксированном  $k$  ( $0 < k < 1$ ) можно так выбирать фиксированные  $J$ ,  $\sigma$  и  $p$ , что преобразование (3) будет иметь более одной устойчивой неподвижной точки.

Режим, в котором будет работать регулятор при наличии нескольких устойчивых периодических решений, будет зависеть от начальных условий. При случайном изменении начальных условий (например при точке или сотрясении) регулятор может перескакивать с одного режима на другой.

5°. При  $H > 0$  взаимодействие ходового колеса и пластиинки в устойчивом режиме может происходить либо на встречных, либо на подталкивающих ударах.

6°. Для фиксированного  $H > 0$  условие  $\cos \theta - H \sin \theta - e^{-H\theta} > 0$  выделяет интервалы значений  $\theta$  (содержащие либо период собственных колебаний пластиинки, либо его целые кратности), внутри которых при выполнении условий (6) система может работать в режиме подталкивающих ударов.

7°. При  $H = 0$  моменты на ходовом колесе, вычисленные по уравнению (5), обратно пропорциональны квадратам периодов. При  $H > 0$  уклонение от этого закона будет тем сильнее, чем ближе период автоколебаний к периоду собственных колебаний пластиинки или к его целой кратности.

6. На рис. 3 сверху приведены кривые зависимости периода от врачающего момента, построенные для фиксированных значений параметров ( $J = 1/75$ ,  $\varphi = 45^\circ$ ,  $k = 0,5$ ,  $H = 0$  и  $H = 0,001$ ) по уравнению (5). Жирными линиями выделены области устойчивости. Снизу для  $H = 0,001$  в том же масштабе по оси  $\theta$  построены кривые зависимости от периода  $\theta$  доударной скорости пластиинки ( $\dot{\eta}$ ) и места удара ( $\xi$ ). Участки  $AB$  и  $CD$  на устойчивой части кривой ( $p$ ,  $\theta$ ) соответствуют подталкивающим ударам ( $\dot{\eta} > 0$ ). Чертеж иллюстрирует выводы.

Из характера кривой ( $p$ ,  $\theta$ ) видно также, что, увеличивая  $p$ , можно перейти в такую область значений параметров, где существует только одно устойчивое периодическое движение.

7. Наличие нескольких устойчивых режимов можно наблюдать экспериментально на простых моделях при соответствующем выборе величины врачающего момента. Перескоки с одного режима на другой вызываются, например, затормаживанием или подталкиванием ходового колеса рукой. Легко удается наблюдать до четырех различных устойчивых режимов.

Физико-технический институт  
Горьковского государственного университета

Поступило  
15 II 1950

#### ЦИТИРОВАННАЯ ЛИТЕРАТУРА

<sup>1</sup> Р. В. Дроздов, Детали приборов, 1948. <sup>2</sup> Н. Н. Батин, ДАН, 65, № 3 (1949).